

лении, согласно [2, 17], в иттербии происходят одновременно структурный и электронный фазовые переходы, в результате которых ионы Yb<sup>+</sup> приобретают целочисленную валентность 3+.

В заключение авторы хотели бы обратить внимание на следующее обстоятельство. Температурные зависимости  $R$  ОЦК-фазы Yb аналогичны таковым, наблюдаемым в сильно сжатых ( $P > 10$  ГПа) SmS и SmB<sub>6</sub><sup>[18, 19]</sup>. Возможное объяснение этого факта заключается в том, что в ОЦК-модификации Yb реализуется безщелевое состояние ПВ.

#### Список литературы

- [1] Тонков Е. Ю. Фазовые превращения соединений при высоком давлении / Под. ред. Е. Г. Понятовского. М., 1988. Т. 11. 360 с.
- [2] Syassen K., Wortmann G., Feldhaus J., Frank K. H., Kaindl G. // Phys. Rev. B. 1982. V. 26. N 8. P. 4745–4748.
- [3] Хомский Д. И. // УФН. 1979. Т. 129. № 3. С. 443–485.
- [4] Katzman H., Mydosh J. A. // Z. Physik. 1972. V. 256. N 4. P. 380–386.
- [5] Ramani G., Singh A. K. // Sol. St. Comm. 1979. V. 29. N 8. P. 583–584.
- [6] Jaccard D., Sierro J. // Valence Instabilities. Amsterdam; N. Y.; Oxford, 1982. P. 409–413.
- [7] Сидоров В. А., Смирнов И. А., Степанов Н. Н., Хвостанцев Л. Г., Циок О. Б., Голубков А. В. // ФТТ. 1986. Т. 28. № 10. С. 3232–3235.
- [8] Сидоров В. А., Степанов Н. Н., Хвостанцев Л. Г., Циок О. Б., Голубков А. В., Оскотский В. С., Смирнов И. А. // ФТТ. 1987. Т. 29. № 9. С. 2616–2621.
- [9] Щенников В. В., Степанов Н. Н., Смирнов И. А., Голубков А. В. // ФТТ. 1988. Т. 30. № 10. С. 3105–3110.
- [10] Khvostantsev L. G., Vereshchagin L. F., Novikov A. P. // High Temp.–High Press. 1977. V. 9. N 6. P. 637–639.
- [11] Onodera A. // High Temp.–High Press. 1987. V. 19. N 6. P. 579–609.
- [12] Николаев Н. А., Хвостанцев Л. Г. // ЖЭТФ. 1987. Т. 92. № 1. С. 358–363.
- [13] Souers P. C., Jura G. // Science. 1963. V. 140. N 3566. P. 481–483.
- [14] Ramesh T. G., Shubha V., Ramaseshan S. // J. Phys. F. 1977. V. 7. N 6. P. 981–990.
- [15] McWhan D. B., Rice T. M., Schmidt P. H. // Phys. Rev. 1969. V. 177. N 3. P. 1063–1071.
- [16] Born H. J., Legwold S., Spedding F. H. // J. Appl. Phys. 1961. V. 32. N 12. P. 2543–2549.
- [17] Grosshans W. A., Holtzapfel W. B. // J. Magn. Magn. Mater. 1985. V. 47–48. P. 295–296.
- [18] Holtzberg F., Wittig J. // Sol. St. Comm. 1981. V. 40. N 4. P. 315–319.
- [19] Beill J., Maple M. B., Wittig J., Fisk Z., DeLong L. E. // Phys. Rev. B. 1983. V. 28. N 12. P. 7397–7400.

Ленинградский филиал  
Института машиноведения  
им. А. А. Благонравова  
АН СССР

Поступило в Редакцию  
15 февраля 1990 г.

УДК 537.632

© Физика твердого тела, том 32, № 8, 1990  
Solid State Physics, vol. 32, N 8, 1990

#### МАГНИТООПТИЧЕСКИЕ СВОЙСТВА МАНГАНИТОВ СО СТРУКТУРОЙ ПИРОХЛОРА

Г. С. Кринчик, Е. А. Ганьшина, А. Ю. Трифонов

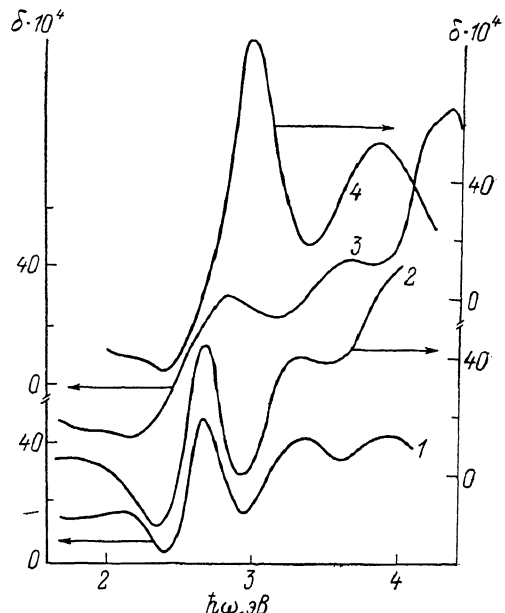
При исследовании магнитооптических свойств мanganитов [1, 2] было установлено, что магнитооптические эффекты в них связаны с переходами в октакомплексах, содержащих ионы Mn<sup>3+</sup> и Mn<sup>4+</sup>. Кроме того, было обнаружено сильное влияние ионов Bi<sup>3+</sup> на магнитооптическую активность этих соединений. Поэтому представляло интерес изучить магнитооптические свойства мanganитов, содержащих только ионы Mn<sup>4+</sup> в октакомплексе, и проследить за влиянием на их магнитооптические свойства различных редкоземельных и диамагнитных ионов.

В последнее время был синтезирован целый ряд новых соединений марганца с химической формулой  $A_2^{3+}Mn_2^{4+}O_7$ , [3]. Эти соединения имеют структуру пирохлора  $A_2^{3+}B_2^{4+}O_7$ , [4, 5] с пространственной группой  $Fd\bar{3}m$ . Для этой структуры характерны искаженное октаэдрическое окружение ионов  $B^{4+}$  и искаженное кубическое окружение ионов  $A^{3+}$ , причем степень искажения определяется величинами ионных радиусов ионов  $A^{3+}$  и  $B^{4+}$  (уменьшение размеров  $A$  и увеличение размеров  $B$  приводят к усилению искажения октаэдров ( $BO_6$ )<sup>8-</sup> и уменьшению искажения кубов ( $AO_8$ )<sup>13-</sup>).

В настоящей работе приведены результаты изучения магнитооптических свойств пирохлоров  $A_2Mn_2O_7$ , где  $A=Lu$ ,  $Yb$ ,  $Tl$  и  $In$ . Образцы были получены методом твердофазных реакций при высоких давлениях и температурах. Измерения экваториального эффекта Керра (ЭЭК) были проведены на автоматизированной магнитооптической установке динамическим методом. Максимальная амплитуда переменного магнитного поля в зазоре электромагнита достигала 4 кЭ. Чувствительность установки  $10^{-5}$ . Магнитооптические спектры измерялись в спектральном диапазоне 1.5—4.5 эВ при различных углах падения света в районе угла Брюстера. Для низкотемпера-

Рис. 1. Спектральная зависимость ЭЭК в пирохлорах  $A_2Mn_2O_7$ , при угле падения света  $\varphi=67^\circ$  и магнитном поле  $H=4$  кЭ.

1 —  $Lu_2Mn_2O_7$ , 10 К; 2 —  $Yb_2Mn_2O_7$ , 10 К; 3 —  $Tl_2Mn_2O_7$ , 50 К; 4 —  $In_2Mn_2O_7$ , 50 К.



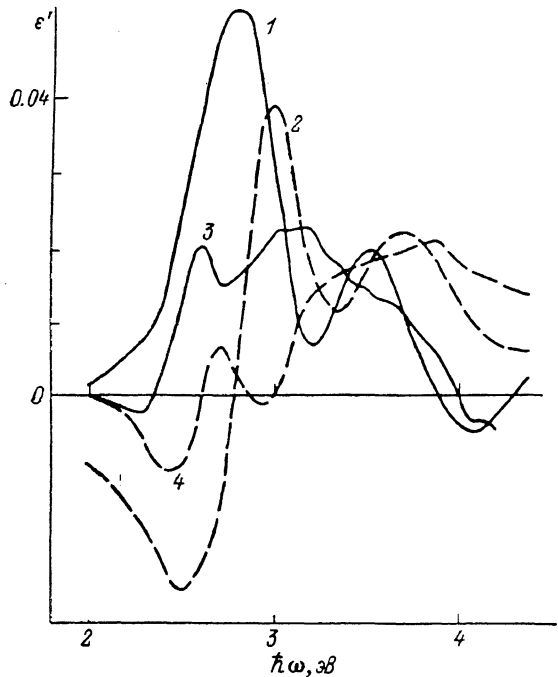
турных измерений применялся проточный гелиевый криостат, позволяющий проводить измерения в интервале от 7 К до комнатной температуры.

На рис. 1 приведены результаты измерений спектров ЭЭК для всех исследованных веществ при одном угле падения света и различных температурах. Из сравнения спектров  $Lu_2Mn_2O_7$  и  $Yb_2Mn_2O_7$  видно, что замена  $Yb$  на  $Lu$  не приводит к значительному изменению спектра ЭЭК, т. е. магнитооптическая активность этих соединений связана в основном с ионами  $Mn^{4+}$ . По спектрам ЭЭК в  $Yb_2Mn_2O_7$  при различных углах падения света был рассчитан спектр недиагональной компоненты тензора диэлектрической проницаемости  $\epsilon'$  (рис. 2). Необходимые для расчета компонент тензора оптические константы  $n$ ,  $k$  были измерены с помощью эллипсометрического метода Битти—Кона. В спектре  $\epsilon'$  можно выделить следующие особенности: диамагнитные переходы в районе 2.6 и 3.2 эВ, парамагнитный переход в районе 3.8 эВ. Замена ионов  $Lu$  и  $Yb$  на  $Tl$  и  $In$  приводит к изменению характера спектров ЭЭК.

Анализ спектров ЭЭК (рис. 1) и  $\epsilon'$  (рис. 2) для  $In_2Mn_2O_7$  показывает, что парамагнитный переход в районе 3.8 эВ остался почти без изменений, но вместо двух диамагнитных переходов при более низких энергиях появился диамагнитный переход с гораздо большей магнитооптической активностью. В спектре  $Tl_2Mn_2O_7$  усиливается эффект в районе 4.3 эВ. Нами были также измерены температурные зависимости ЭЭК, из которых были определены температуры Кюри исследуемых веществ:  $Lu_2Mn_2O_7$  — 20 К,  $Yb_2Mn_2O_7$  — 45 К,  $Tl_2Mn_2O_7$  — 117 К,  $In_2Mn_2O_7$  — 132 К. Для объяснения столь высокой  $T_K$  в  $In_2Mn_2O_7$ , авторами [3] высказывалось пред-

положение о дополнительном ферромагнитном обмене между ионами  $Mn^{4+}$  через  $In^{3+}$ .

Анализ полученных спектров проведем, рассматривая возможные переходы в октаэдрическом комплексе  $(MnO_6)^{8-}$ . В ионе  $Mn^{4+}$  в октаэдрическом окружении есть только два спин-разрешенных перехода в кристаллическом поле  $4A_{2g} - 4T_{2g}$  и  $4A_{2g} - 4T_{1g}$ , энергии которых (определенные из спектров люминесценции [6]) составляют соответственно 2.6 и 3.1 эВ. По-видимому, этими же переходами объясняются магнитооптические особенности в спектрах пирохлоров  $Lu_2Mn_2O_7$  и  $Yb_2Mn_2O_7$ , в области энергий 2.6—3.1 эВ. Изменение характера спектра ЭЭК и  $\epsilon'$  в  $In_2Mn_2O_7$  в этой



области может быть следствием дополнительного ферромагнитного обмена через ионы  $In^{3+}$ . Значительное перекрытие волновых функций ионов  $Mn^{4+}$  и  $In^{3+}$  в цепочке  $Mn^{4+}-In^{3+}-Mn^{4+}$  должно приводить к изменению энергетического спектра  $3d$ -электронов  $Mn^{4+}$ . Магнитооптическую активность пирохлоров в области энергий 3.7—3.9 эВ можно связать с разрешенным одноэлектронным переходом  $t_{2g}(3d)-t_{1u}(4p)$ . При спин-поляризованном

Рис. 2. Спектральная зависимость недиагональной компоненты тензора диэлектрической проницаемости  $\epsilon'$  (сплошная линия —  $Re(\epsilon')$ , штриховая —  $Im(\epsilon')$ ) для пирохлоров  $In_2Mn_2O_7$  (1, 2) и  $Yb_2Mn_2O_7$  (3, 4).

расчете энергетических спектров октаэдрических комплексов  $(BO_6)^{8-}$  в  $LaBO_3$  ( $B=Cr, Mn, Co$ ) [7] для иона  $Cr^{3+}$ , изоэлектронного  $Mn^{4+}$ , энергия этого перехода равнялась 4.3 эВ. Кроме того, в октаэдрическом комплексе  $(MnO_6)^{8-}$  имеется разрешенный переход с переносом заряда ( $6t_{1u}-2t_{2g}(3d)$ ) с ионов кислорода на ионы  $Mn^{4+}$ , который должен определять магнитооптическую активность пирохлоров в области энергий выше 4 эВ. Особенно хорошо этот переход виден в спектре ЭЭК для  $Tl_2Mn_2O_7$ . Еще большее усиление этого перехода наблюдалось при добавлении ионов  $Bi^{3+}$  в марганцевых перовскитах [1, 2]. По-видимому, это связано с примешиванием к  $p$ -орбиталам ионов кислорода бр-орбиталей  $Bi^{3+}$  и  $Tl^{3+}$ , имеющих большое спин-орбитальное расщепление (2.1 и 1 эВ соответственно [8]).

В заключение хотим выразить благодарность И. О. Троянчуку за предоставленные образцы.

#### Список литературы

- [1] Балыкина Е. А., Ганьшина Е. А., Кринчик Г. С., Троянчук И. О. // ФТТ. 1988. Т. 30. № 7. С. 2215—2216.
- [2] Porta T. J. A., Kamminga M. G. J. // Sol. St. Comm. 1975. V. 17. N 9. P. 1073—1075.
- [3] Троянчук И. О., Деркаченко В. Н. // ФТТ. 1988. Т. 30. № 11. С. 3487—3489.
- [4] Базуев Г. В., Швейкин Г. П. Сложные оксиды элементов с достраивающимися  $d$ - и  $f$ -оболочками. М.: Наука, 1985. 240 с.
- [5] Спиридонов Ф. М., Перова Е. Б. и др. // Научно-технические прогнозы в области синтеза сегнетоматериалов. М., НИИТЭХИМ, 1976. 77 с.
- [6] Paulusz A. G., Burrus H. L. // Chem. Phys. Lett. 1972. V. 17. P. 527—530.

- [7] Lam D. J., Veal B. W., Ellis D. E. // Phys. Rev. B. 1980. V. 22. N 12. P. 5730—5739.  
[8] Herman F., Skillman S. Atomic structure calculations. Prentice Hall, Englewood Cliffs, N. Y., 1963.

Московский  
государственный университет  
им. М. В. Ломоносова

Поступило в Редакцию  
16 февраля 1990 г.

УДК 538.945

© Физика твердого тела, том 32, № 8, 1990  
Solid State Physics, vol. 32, N 8, 1990

## МЕХАНОЭМИССИЯ ВЫСОКОТЕМПЕРАТУРНЫХ СВЕРХПРОВОДНИКОВ $\text{YBa}_2\text{Cu}_3\text{O}_{7-x}$

А. Г. Липсон, Д. М. Саков, В. А. Кузнецов, В. В. Громов

В процессе механического воздействия на твердые тела, сопровождающегося образованием свежей поверхности, может наблюдаться механоэмиссия электронов [1, 2]. Длительность существования тока механоэмиссии и ее интенсивность в общем случае определяются электропроводностью образцов и их кристаллической структурой. По этой причине механоэмиссия практически не наблюдается при разрушении металлов и низкоомных полупроводников в условиях значительной утечки заряда через объем и поверхность образцов. Кроме того, в некристаллических веществах — диэлектриках (стеклах) — длительность эмиссии лежит в микросекундных интервалах и для ее регистрации требуется специальная техника [3].

В данной работе с использованием обычной аппаратуры, применяемой для регистрации механоэмиссии [2], была обнаружена механоэмиссия сверхпроводящей керамики состава  $\text{YBa}_2\text{Cu}_3\text{O}_{7-x}$ , обладающей в исходном состоянии при комнатной температуре удельным сопротивлением 1 м $\Omega\cdot\text{см}$ .

Исследовались образцы  $\text{YBa}_2\text{Cu}_3\text{O}_{7-x}$  в виде таблеток диаметром 10 и толщиной 1 мм, с плотностью 5.4 г/см<sup>3</sup>, полученные методом твердофазного синтеза [4] и спрессованные при давлении 10 кбар. Образцы, не содержащие примесей посторонних фаз, кроме сверхпроводящей орторомбической (согласно данным рентгенофазового анализа), имели температуру сверхпроводящего перехода 91—92 К и металлический характер температурной зависимости электросопротивления в интервале 95—500 К. Часть образцов проходила отжиг в вакууме  $\sim 10^{-6}$  Тор при температуре 623 К в течение 30 мин. Другая часть образцов была подвергнута  $\gamma$ -облучению на кобальтовой пушке (доза  $10^6$  рад). Скол образцов осуществлялся в вакууме  $\sim 10^{-6}$  Тор таким образом, что образующаяся трещина и поверхность скола образца оказывались непосредственно на расстоянии  $\sim 2$  см от входа детектора электронов ВЭУ-6. Поперечное сечение скола (эмиттирующая поверхность) было строго фиксированным и составляло  $10 \times 1$  мм. Время пробега каретки электронного потенциометра КСП-4 (задержка регистрации) 0.5 с.

Полученные данные представлены на рисунке. Как видно, исходные (не подвергавшиеся отжигу) образцы демонстрируют малый выход электронов со свежеобразованной поверхности скола, а длительность эмиссии составляет  $\sim 5$  с (кривая 1). У образцов, подвергнутых отжигу в вакууме при 623 К, эмиссионная сумма процесса (площадь под кривой кинетики механоэмиссии) в несколько раз больше, чем у исходных, причем длительность механоэмиссии увеличивается в этом случае до 11 с (кривая 2).